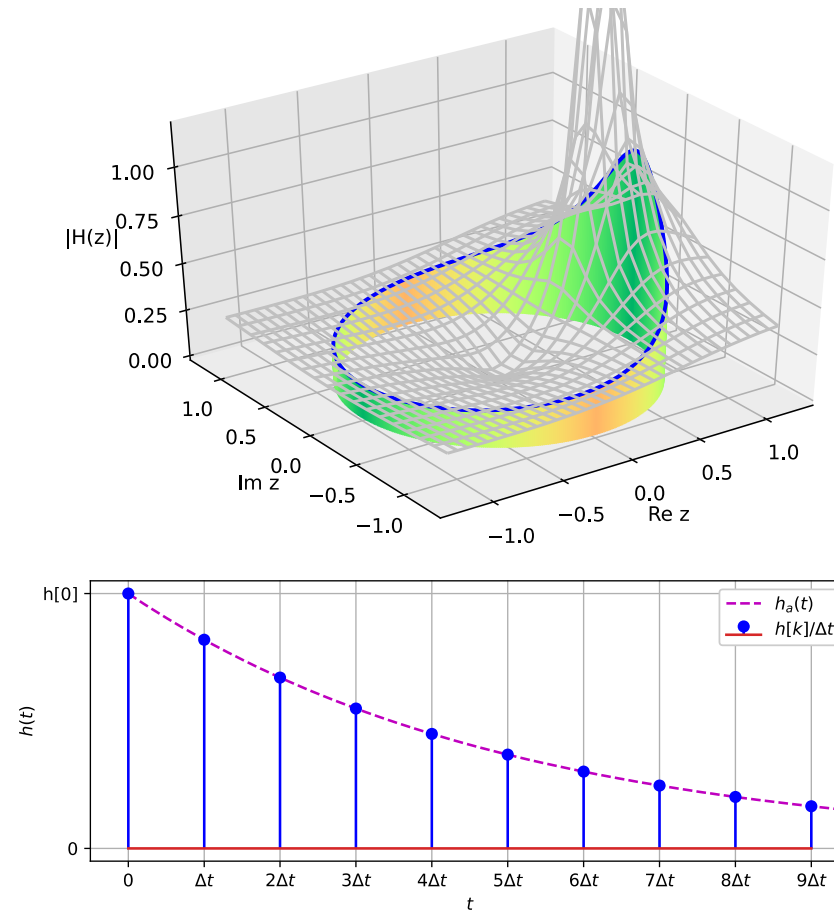


# Лекция 11 по курсу «Основы цифровой обработки сигналов»

## 11 ноября 2024 г. (часть 2)

### 4.6. Синтез БИХ-фильтров

- Метод размещения нулей и полюсов
- Метод инвариантной импульсной характеристики
- Метод билинейного  $z$ -преобразования



# Метод размещения нулей и полюсов

## Метод размещения нулей и полюсов.

В этом разделе на примерах проиллюстрировано влияние расположения нулей и полюсов на АЧХ цифровых фильтров.

### Пример. Квазиинтегратор.

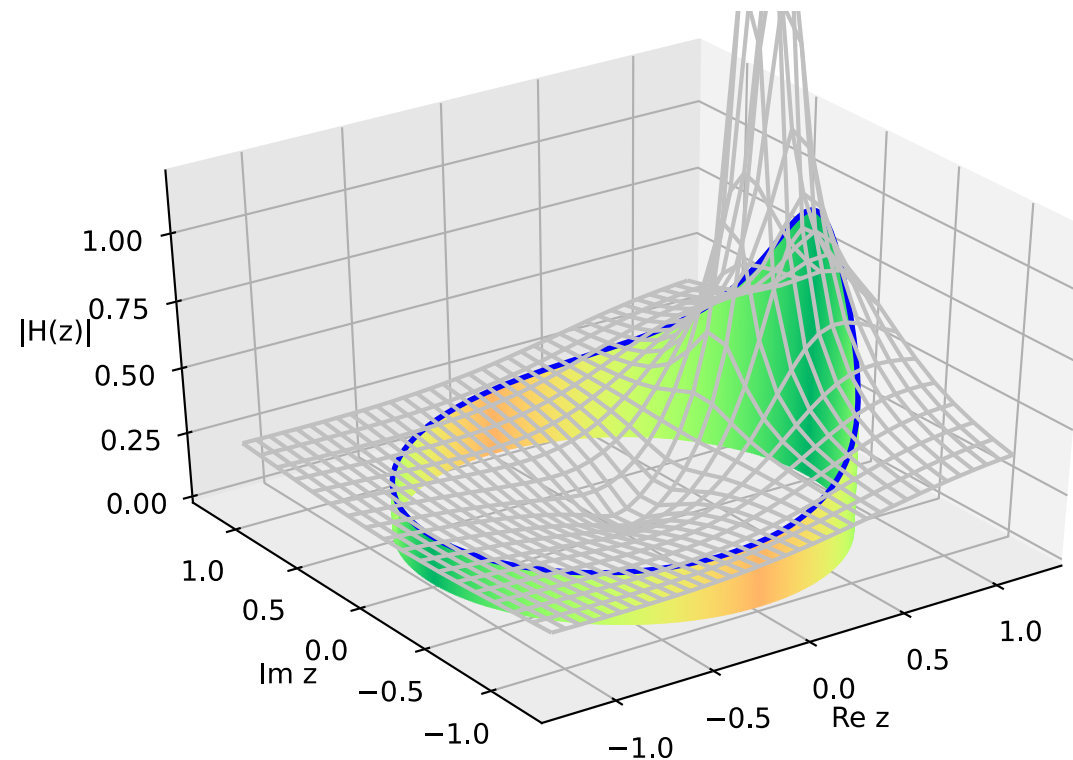
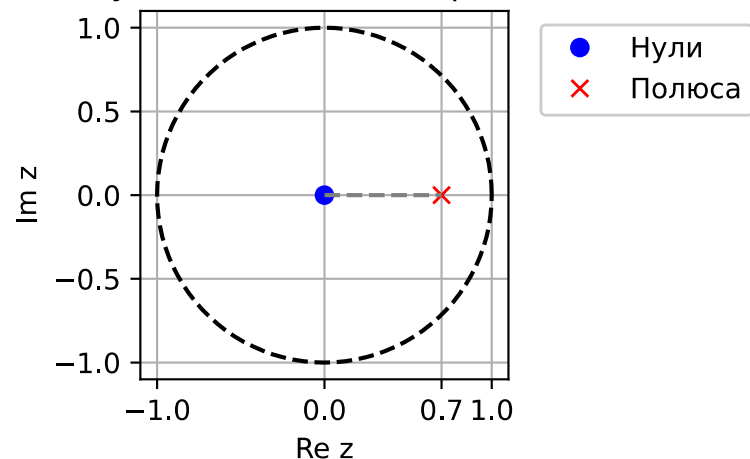
Рассмотрим рекурсивный фильтр, заданный разностным уравнением

$$y[k] = (1 - A)x[k] + Ay[k - 1], \quad y[-1] = 0.$$

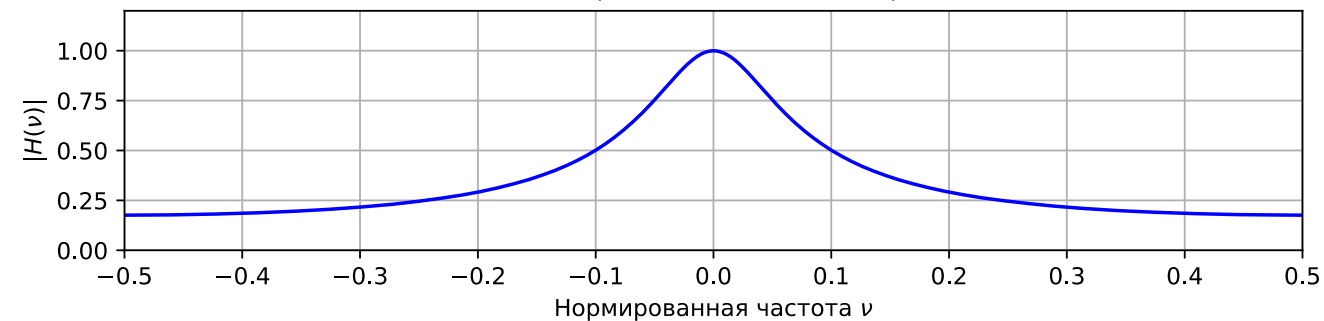
При  $0 < A < 1$  эта система является квазиинтегратором (leaky integrator).

$$H(z) = \frac{1 - A}{1 - Az^{-1}} = \frac{(1 - A)z}{z - A}$$

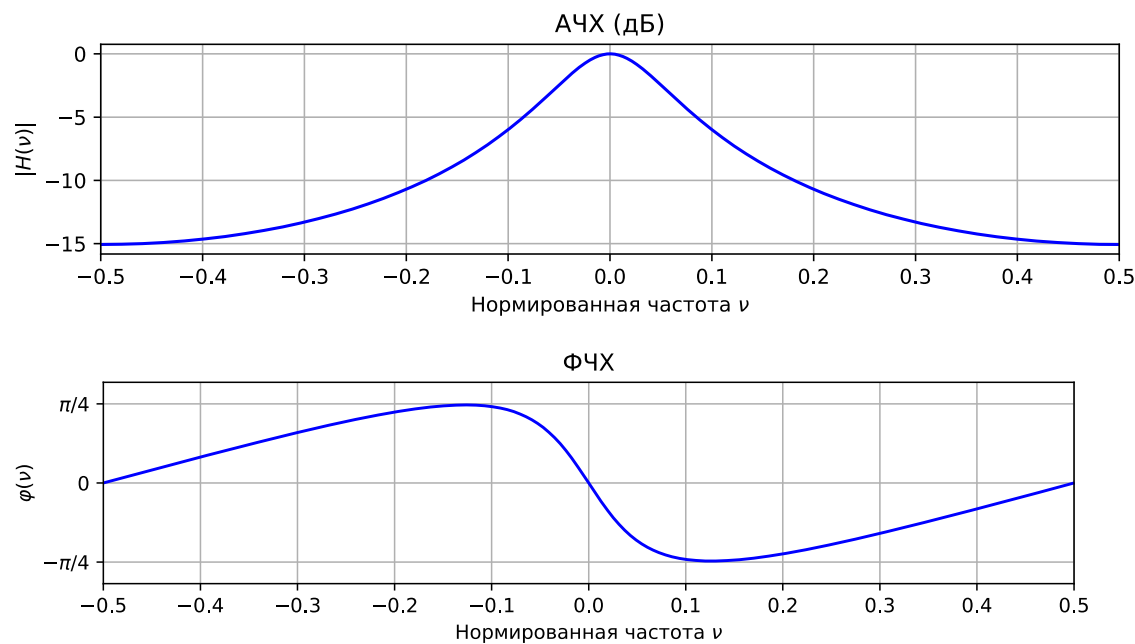
Нуль-полюсная диаграмма



АЧХ (линейный масштаб)

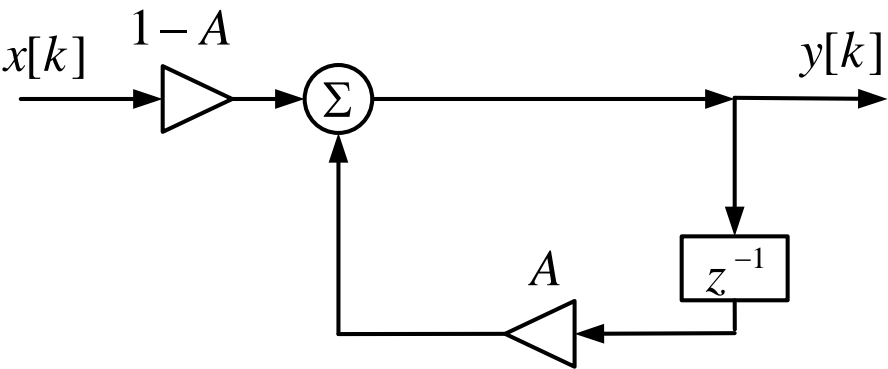


# Метод размещения нулей и полюсов



$$y[k] = (1 - A)x[k] + Ay[k - 1], \quad y[-1] = 0.$$

$$H(z) = \frac{1 - A}{1 - Az^{-1}} = \frac{(1 - A)z}{z - A}$$



Импульсная характеристика может быть получена как с помощью вычисления отклика на  $\mathbf{1}[k]$  при  $y[-1] = 0$ , так и с помощью обратного  $z$ -преобразования для  $H(z)$ .

Определение импульсной характеристики	
постановкой $x[k] = \mathbf{1}[k]$ , $y[-1] = 0$ в разностное уравнение	вычислением обратного $z$ -преобразования для $H(z)$
$h[0] = 1 - A$ $h[1] = (1 - A)A$ $h[2] = (1 - A)A^2$ $h[k] = (1 - A)A^k u[k]$	Используя соответствие $a b^k u[k] \xleftrightarrow{z} \frac{a}{(1 - bz^{-1})}$ , получаем $h[k] = (1 - A)A^k u[k]$ .

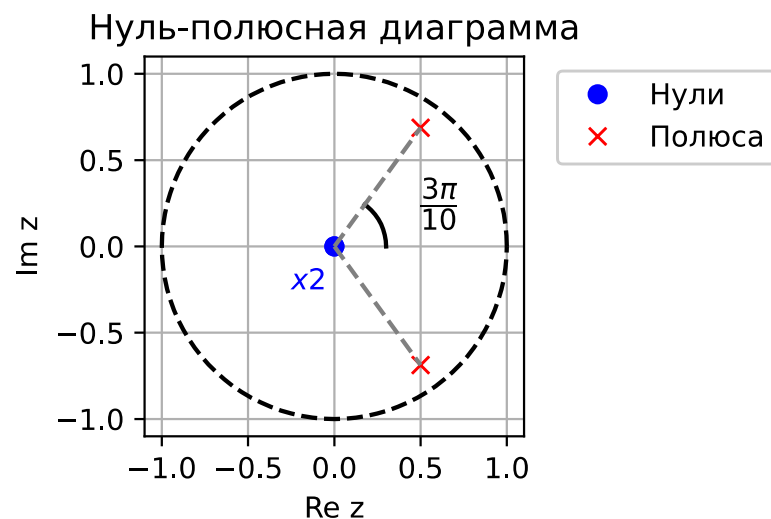
ФЧХ фильтра в полосе пропускания близка к линейной, но не является такой. Общее свойство БИХ-фильтров — невозможность получения кусочно-линейной ФЧХ.

# Метод размещения нулей и полюсов

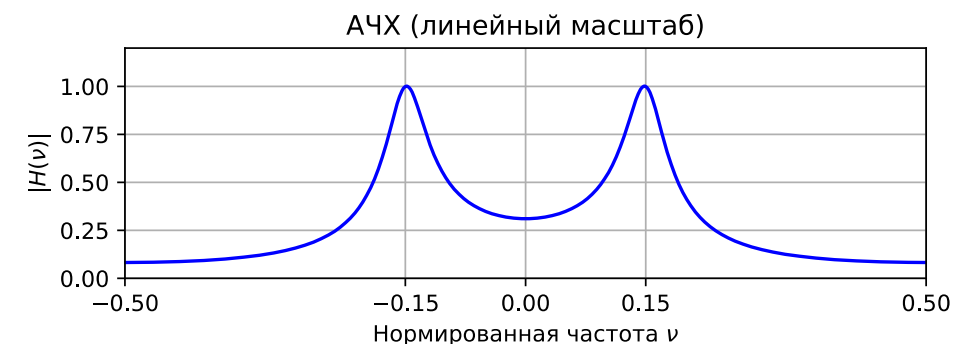
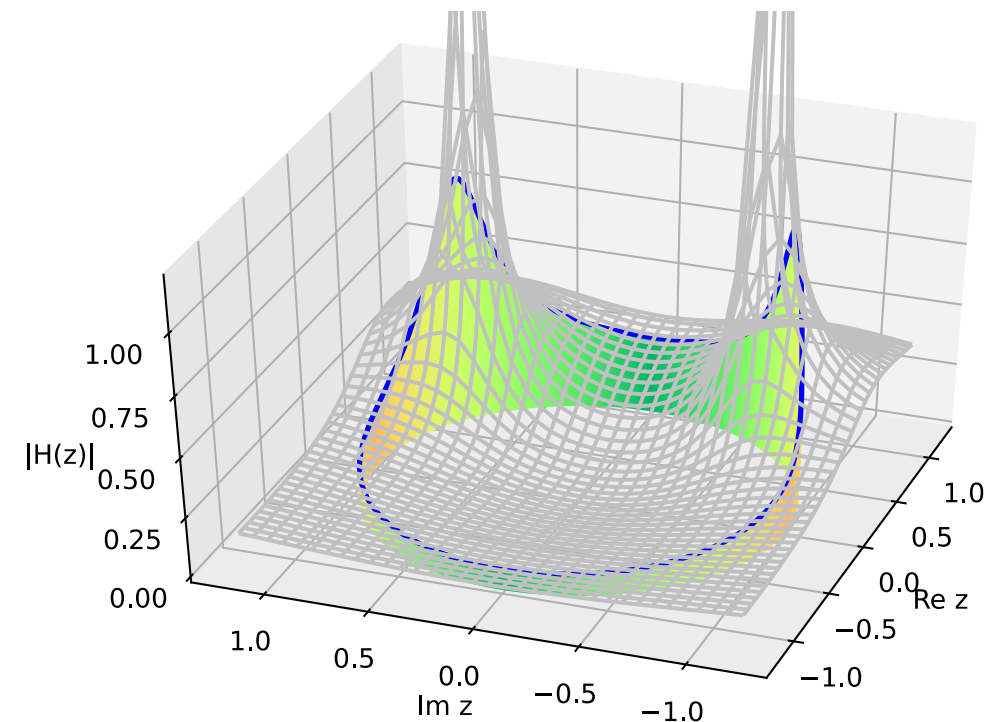
## Пример. Простейший цифровой резонатор

Создадим резонатор с помощью размещения нулей и полюсов. Для примера  $\alpha = 0.85$ ,  $\nu_0 = 0.15$  ( $\theta_0 = 2\pi\nu_0 = \frac{3\pi}{10}$ ).

- Нам нужен фильтр с максимумами АЧХ в точках  $-\nu_0$  и  $\nu_0$ .
- Для этого вблизи точек  $z$ -плоскости  $e^{-j2\pi\nu_0}$  и  $e^{j2\pi\nu_0}$  поместим полюса.
- Чтобы фильтр был устойчивый, они должны лежать внутри единичной окружности. Поэтому поместим их в точках  $p_1 = \alpha e^{-j2\pi\nu_0}$  и  $p_2 = \alpha e^{j2\pi\nu_0}$ ,  $0 < \alpha < 1$ .

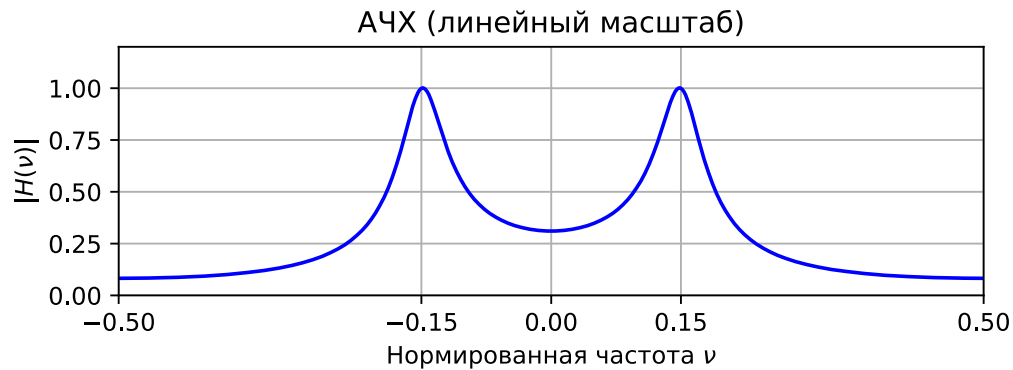


$$H(z) = \frac{G_0 z^2}{(z - \alpha e^{-j2\pi\nu_0})(z - \alpha e^{j2\pi\nu_0})} = \frac{G_0}{1 - 2\alpha \cos(2\pi\nu_0)z^{-1} + \alpha^2 z^{-2}}$$



# Метод размещения нулей и полюсов

Масштабирующий коэффициент  $G_0$  определим из условия  $|H(z = e^{\pm j2\pi\nu_0})| = 1$ .



$$H(z) = \frac{G_0}{1 - 2\alpha \cos(2\pi\nu_0)z^{-1} + \alpha^2 z^{-2}}$$

$$|G_0| = |1 - 2\alpha \cos(2\pi\nu_0)e^{j2\pi\nu_0} + \alpha^2 e^{j4\pi\nu_0}| = (1 - \alpha) |1 - \alpha e^{j4\pi\nu_0}|$$

Выберем  $G_0 = (1 - \alpha) |1 - \alpha e^{j4\pi\nu_0}|$ .

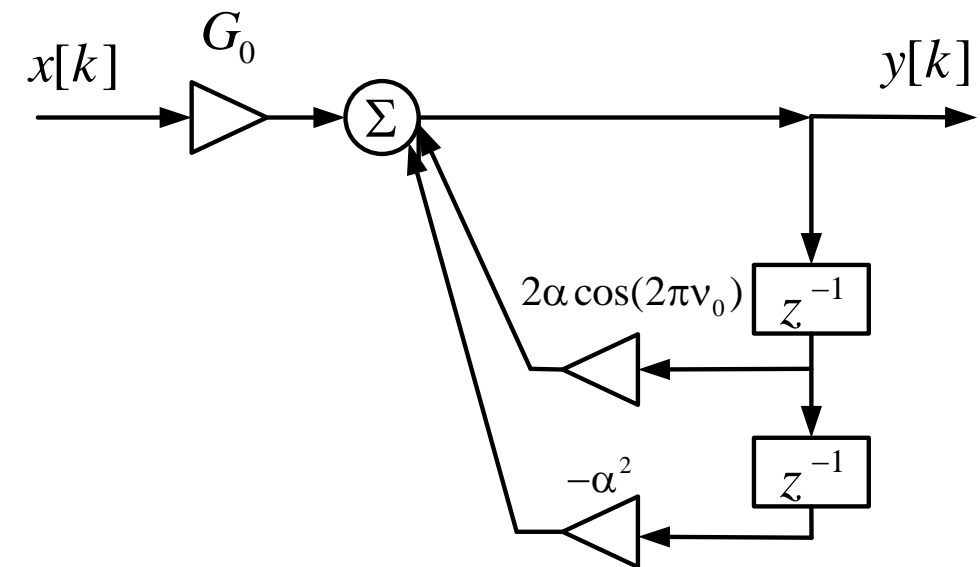
Разностное уравнение

$$y[k] - 2\alpha \cos(2\pi\nu_0)y[k-1] + \alpha^2 y[k-2] = G_0 x[k]$$

$$y[k] = G_0 x[k] + 2\alpha \cos(2\pi\nu_0)y[k-1] - \alpha^2 y[k-2]$$

$$y[k] = (1 - \alpha) |1 - \alpha e^{j4\pi\nu_0}| x[k] + 2\alpha \cos(2\pi\nu_0)y[k-1] - \alpha^2 y[k-2]$$

Инициализация выхода  $y[k-2] = 0$ ,  $y[k-1] = 0$ .



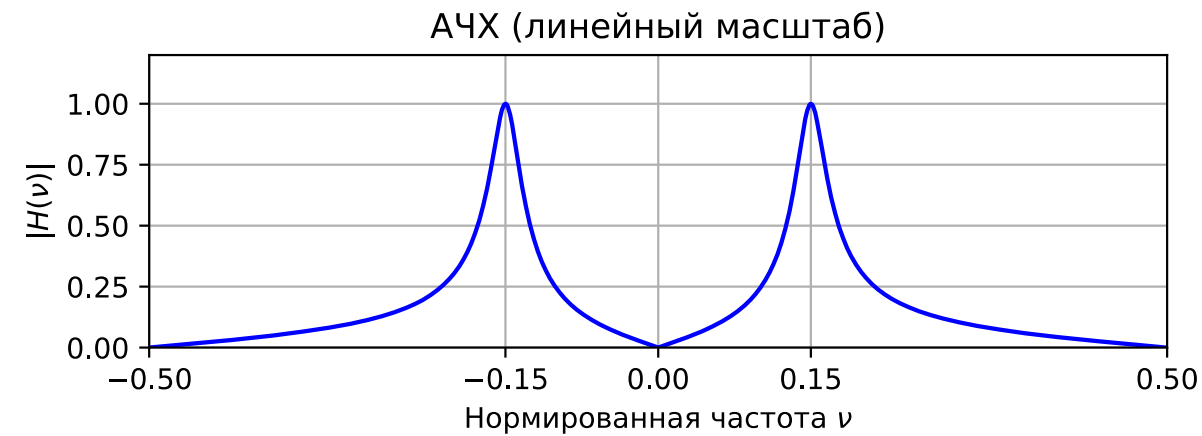
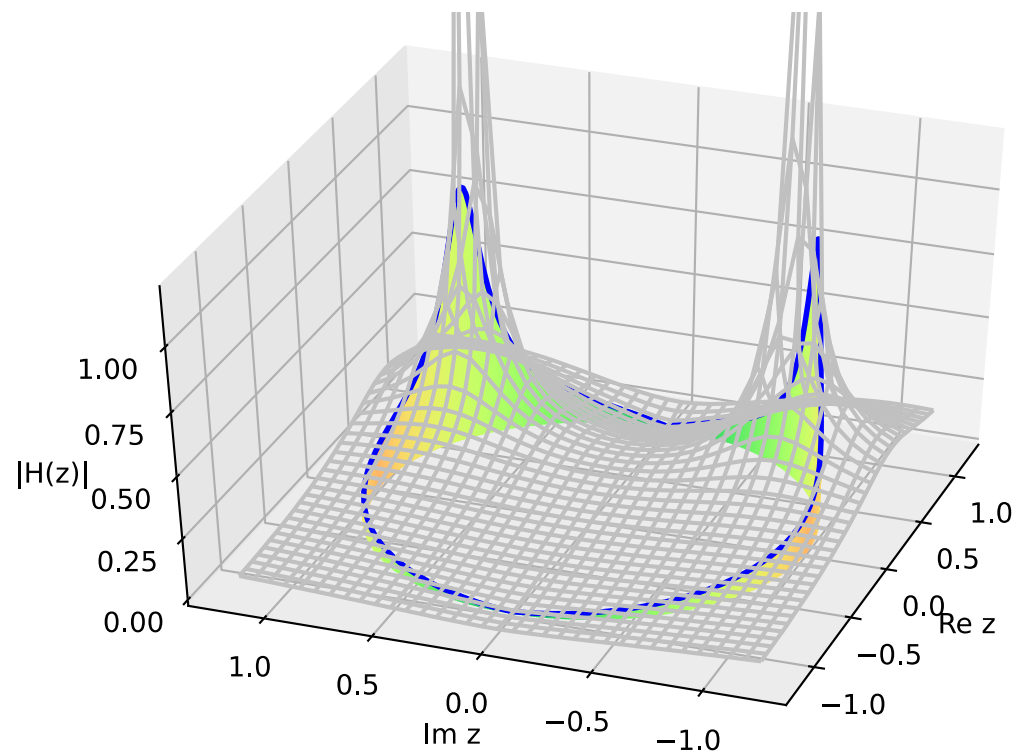
# Метод размещения нулей и полюсов

## Пример. Цифровой резонатор

Добавим в  $H(z)$  простейшего резонатора нули в точках  $z = \pm 1$ , убрав кратный нуль в  $z = 0$ .

$$H(z) = \frac{G_0(z-1)(z+1)}{(z - \alpha e^{-j2\pi\nu_0})(z - \alpha e^{j2\pi\nu_0})}$$

Коэффициент  $G_0$  определим из условия  $|H(z = e^{\pm j2\pi\nu_0})| = 1$

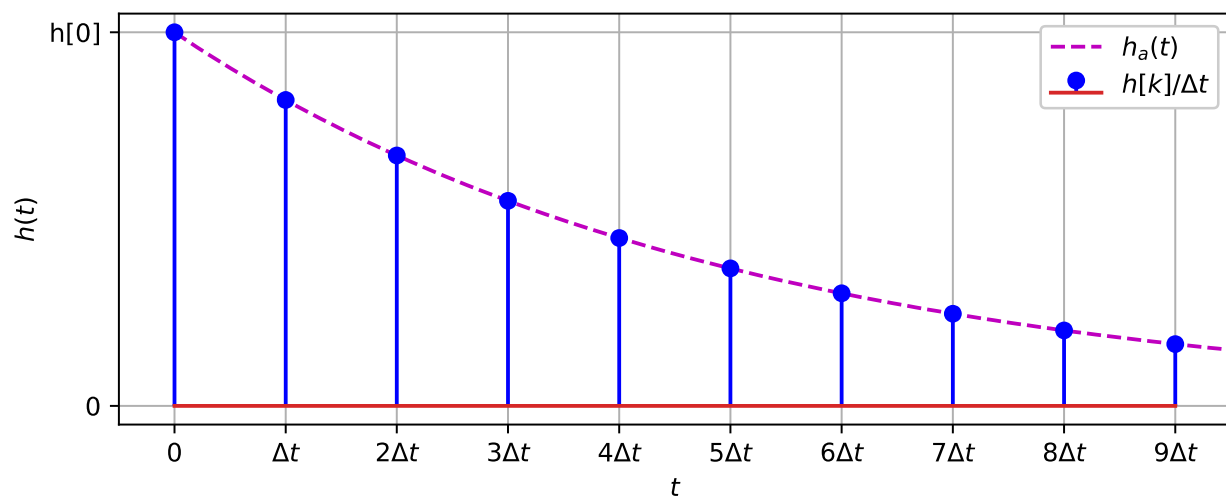


# Метод инвариантной импульсной характеристики

## √22 Метод инвариантной импульсной характеристики

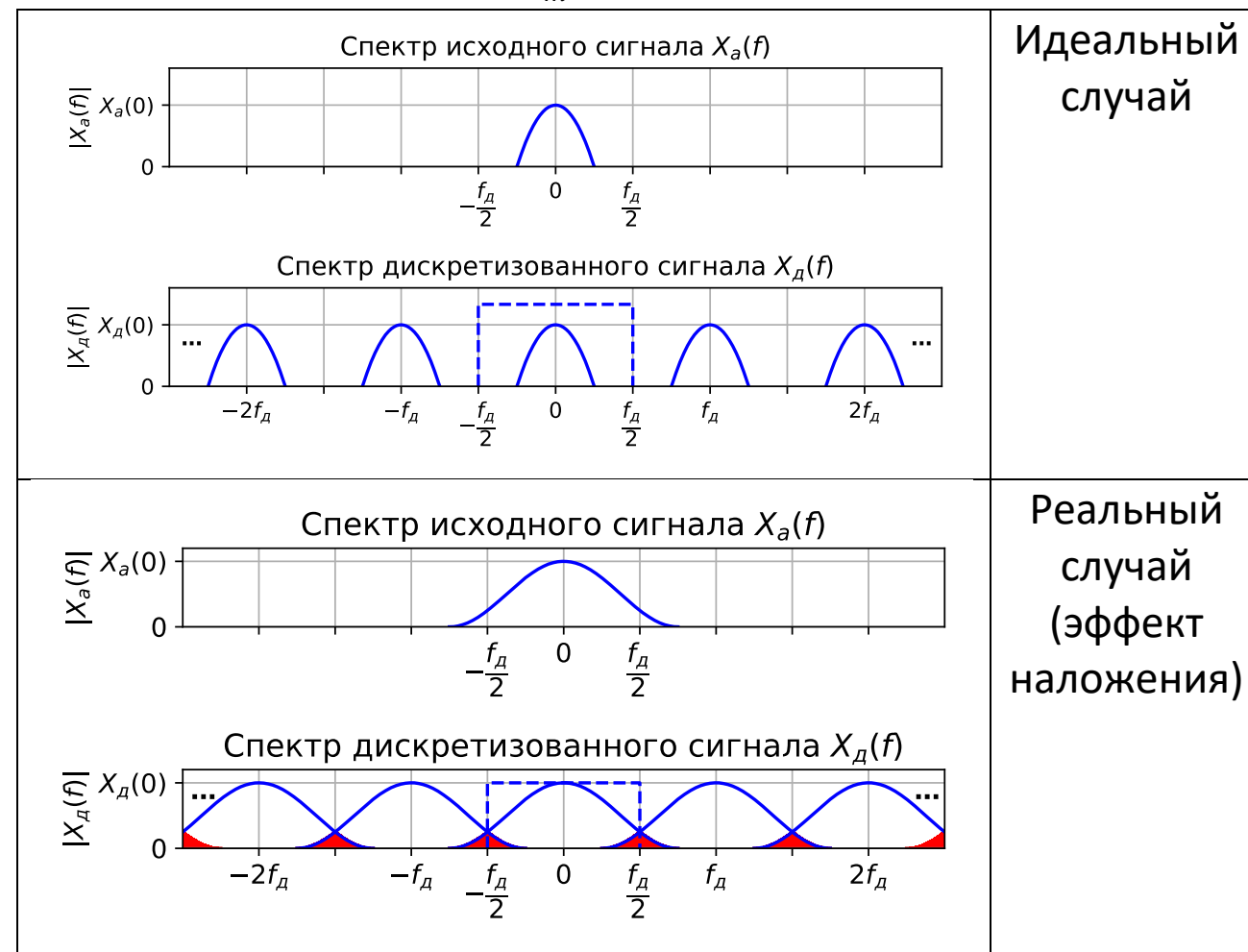
Метод инвариантной импульсной характеристики относится к методам синтеза БИХ-фильтров на основе аналогового фильтра-прототипа.

- Он заключается в том, что импульсная характеристика аналогового фильтра  $h_a(t)$  (реакция на дельта-функцию) дискретизируется с шагом  $\Delta t$ , в результате чего получается импульсная характеристика цифрового фильтра:  $h[k] = \Delta t h_a(k\Delta t)$



- Пусть  $H(f)$  – частотная характеристика цифрового фильтра,  $H_a(f)$  – аналогового. Тогда в силу  $h[k] = \Delta t h_a(k\Delta t)$  справедливо соотношение

$$H(f) = \sum_{m=-\infty}^{\infty} H_a(f + mf_d).$$



# Метод инвариантной импульсной характеристики

- Передаточная функция цифрового фильтра  $H(z)$  будет определяться как  $z$ -образ  $h[k]$

$$H(z) = \sum_{k=0}^{\infty} h[k]z^{-k}.$$

- Возникает вопрос о том, как определить коэффициенты в разностном уравнении (БИХ—фильтр, бесконечное число слагаемых).
- Передаточную функцию  $H_a(p)$  исходного аналогового фильтра представим в виде суммы простых дробей. Предположим, что  $H_a(p)$  не имеет кратных полюсов, тогда по теореме разложения Хевисайда

$$H_a(p) = \sum_{m=1}^M \frac{A_m}{p - p_m},$$

где  $M$  – порядок передаточной функции,  $p_m$  – её полюса, а  $A_m$  – заданные числа, которые можно определить с помощью метода неопределённых коэффициентов,  $m = 1, \dots, M$ .

- При этом импульсная характеристика  $h_a(t)$  аналогового фильтра может быть найдена с помощью обратного преобразования Лапласа для  $H_a(p)$ .
- Обозначим одно слагаемое суммы как

$$V_m(p) = \frac{A_m}{p - p_m}.$$

Обратное преобразование Лапласа для  $V_m(p)$  может быть вычислено следующим образом<sup>1</sup>:

$$v_m(t) = \frac{1}{j2\pi} \oint_C V_m(p) e^{pt} dp = \operatorname{Res}_{p_m} \frac{A_m e^{pt}}{p - p_m} = A_m \exp(p_m t), \quad t \geq 0.$$

Здесь контур  $C$  охватывает все полюса подынтегральной функции.

- В силу линейности преобразования Лапласа

$$h_a(t) = \sum_{m=1}^M v_m(t) = \sum_{m=1}^M A_m \exp(p_m t), \quad t \geq 0.$$

<sup>1</sup> См. формулу (3) приложения к лекции 24 октября 2022 г. «Преобразование Лапласа в линейных системах».



# Метод инвариантной импульсной характеристики

- $h_a(t) = \sum_{m=1}^M A_m \exp(p_m t), \quad t \geq 0.$
- Импульсная характеристика дискретной системы
$$h[k] = \Delta t h_a(k\Delta t).$$

$$h[k] = \Delta t \sum_{m=1}^M A_m \exp(p_m k\Delta t), \quad k \geq 0.$$

- Наконец, передаточную функцию цифрового фильтра получим с помощью прямого  $z$ -преобразования  $h[k]$

$$H(z) = \sum_{k=0}^{\infty} h[k] z^{-k},$$

$$\begin{aligned} H(z) &= \Delta t \sum_{k=0}^{\infty} \sum_{m=1}^M A_m \exp(p_m k\Delta t) z^{-k} = \Delta t \sum_{m=1}^M A_m \sum_{k=0}^{\infty} \left( \exp(p_m k\Delta t) z^{-1} \right)^k = \\ &= \sum_{m=1}^M \frac{A_m \Delta t}{1 - \exp(p_m \Delta t) z^{-1}}, \quad \left| \exp(p_m \Delta t) z^{-1} \right| < 1. \end{aligned}$$

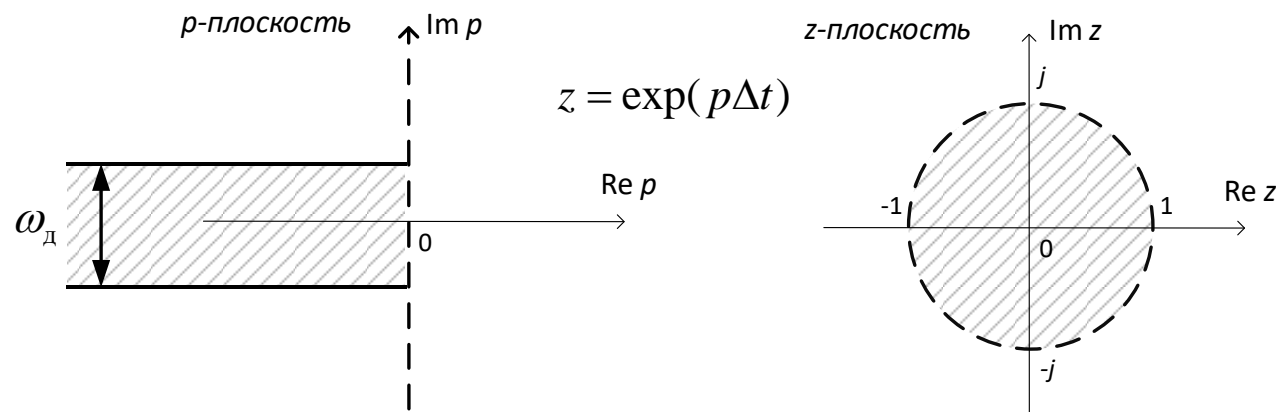
Мы получили запись передаточной функции в виде суммы простых дробей.

- Если какой-либо из полюсов  $p_m$  не является действительным, то для него существует комплексно сопряженный  $p_m^*$  и система может быть реализована с действительными коэффициентами разностного уравнения, например, в виде параллельного соединения блоков второго и первого порядков.

Заметим, что в методе инвариантной импульсной характеристики полюса передаточных функций аналогового фильтра  $p_m$  и цифрового  $z_m$  связаны соотношением  $z_m = \exp(p_m \Delta t)$ :

$$\begin{aligned} H_a(p) &= \sum_{m=1}^M \frac{A_m}{p - p_m}, \\ H(z) &= \sum_{m=1}^M \frac{A_m \Delta t}{1 - \exp(p_m \Delta t) z^{-1}}. \end{aligned}$$

# Метод инвариантной импульсной характеристики

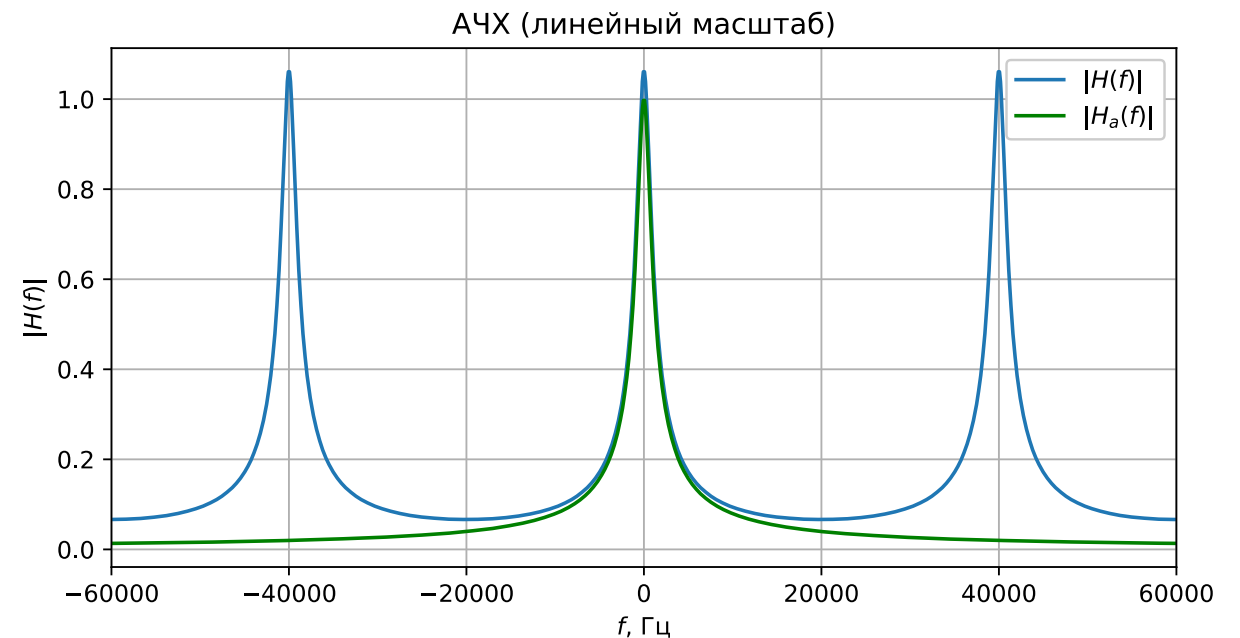


- Любая полоса шириной  $\omega_d = 2\pi / \Delta t$  в левой полуплоскости (не включая границу вдоль мнимой оси)  $p$ -плоскости отображается с помощью  $z = \exp(p\Delta t)$  во внутрь единичного круга в  $z$ -плоскости.
- У физически реализуемого устойчивого аналогового фильтра все полюса  $H_a(p)$  лежат в строго левой полуплоскости  $p$ -плоскости.
- Тогда для цифрового фильтра, полученного методом инвариантной импульсной характеристики, все полюса  $H(z)$  лежат внутри единичного круга.
- В силу этого, если аналоговый фильтр-прототип был устойчив, то и цифровой фильтр будет также устойчив.

Частотная характеристика цифрового фильтра представляет собой периодически повторенную частотную характеристику аналогового фильтра-прототипа,

$$H(f) = \sum_{m=-\infty}^{\infty} H_a(f + mf_d).$$

При этом появляется эффект наложения (элайзинг/алиасинг).

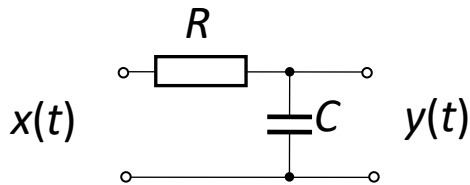


На частотах  $f \in [-f_d / 2; f_d / 2]$  наблюдаем совпадение (с точности до эффекта наложения) АЧХ аналогового и цифрового фильтров.

# Метод инвариантной импульсной характеристики

## Пример. Цифровой аналог RC-цепочки

Построим цифровой аналог RC-цепочки интегрирующего типа. Пусть входное напряжение  $x(t)$ , выходное  $y(t)$ .



- Ток, текущий через резистор, выражается через изменение напряжения на конденсаторе как

$$i(t) = C \frac{dy(t)}{dt}.$$

- Из закона Ома  $i(t)R + y(t) = x(t)$ .

$$RC \frac{dy(t)}{dt} + y(t) = x(t).$$

Пусть  $x(t) \xrightarrow{L} X(p)$ ,  $y(t) \xrightarrow{L} Y(p)$ . Тогда по свойствам преобразования Лапласа

$$\frac{dy(t)}{dt} \xrightarrow{L} pY(p) - y(0)$$

Пусть в начальный момент времени  $y(0) = 0$ .

$$RCpY(p) + Y(p) = X(p).$$

- Передаточная функция аналогового фильтра

$$H_a(p) = \frac{Y(p)}{X(p)} = \frac{1}{1 + RCp} = \frac{1}{RC \left( p + \frac{1}{RC} \right)} = \frac{A_1}{p - p_1}.$$

$$\text{Тогда } A_1 = \frac{1}{RC}, \quad p_1 = -\frac{1}{RC}.$$

Получаем передаточную функцию цифрового фильтра

$$H(z) = \frac{A_m \Delta t}{1 - \exp(p_m \Delta t) z^{-1}} = \frac{\frac{\Delta t}{RC} z}{z - \exp\left(-\frac{\Delta t}{RC}\right)} = \frac{\frac{\Delta t}{RC}}{1 - z^{-1} \exp\left(-\frac{\Delta t}{RC}\right)}.$$

Заметим, что если  $\exp\left(-\frac{\Delta t}{RC}\right) < 1$ , то фильтр устойчивый.

Поскольку  $\frac{\Delta t}{RC} > 0$ , фильтр устойчив всегда. Разностное

уравнение цифрового аналога:

$$y[k] = \frac{\Delta t}{RC} x[k] + \exp\left(-\frac{\Delta t}{RC}\right) y[k-1]$$

# Метод инвариантной импульсной характеристики

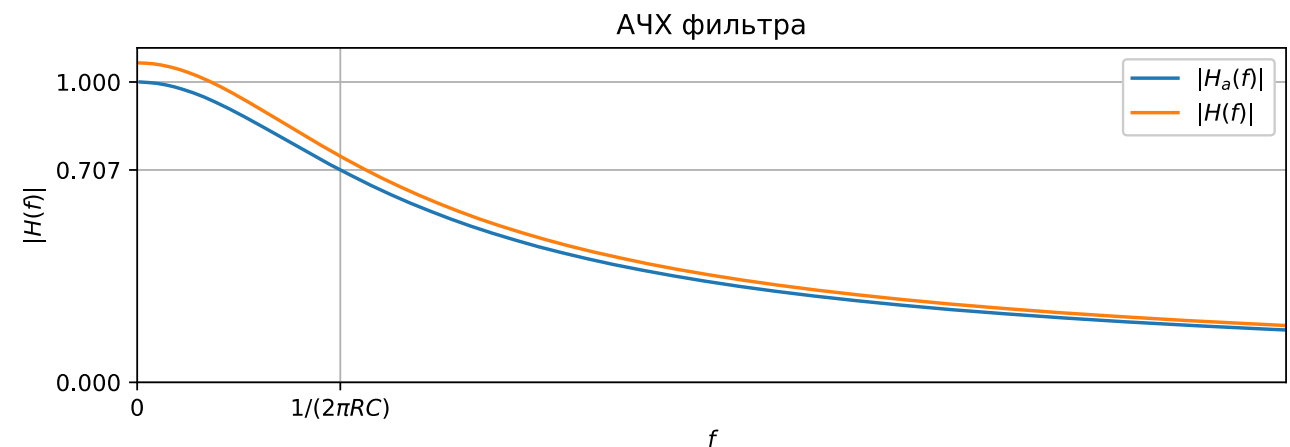
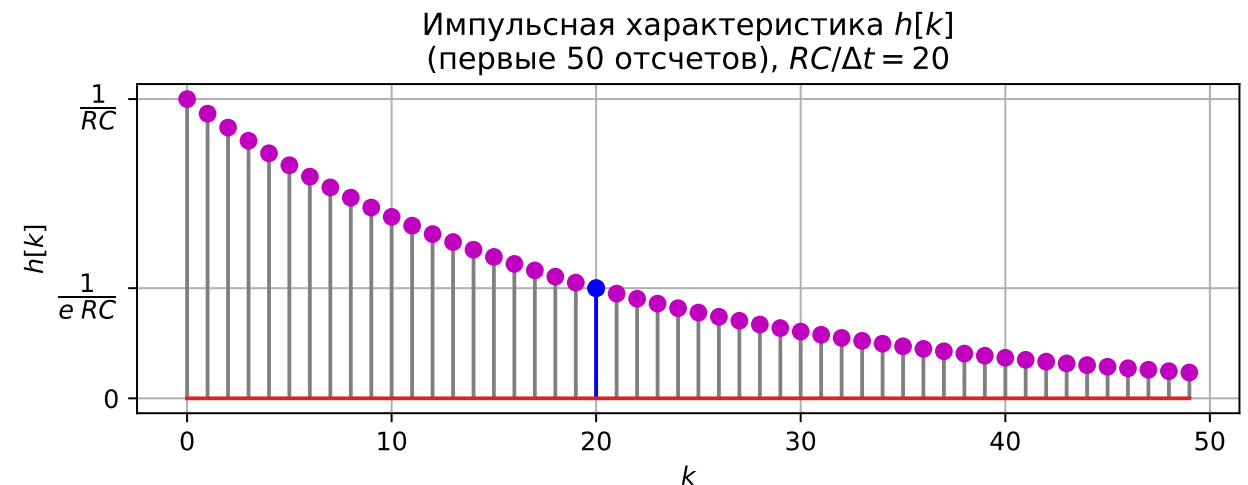
- Теперь сравним импульсные характеристики аналогового и цифрового фильтров.
- Для аналогового фильтра импульсная характеристика может быть найдена с помощью обратного преобразования Лапласа для  $H_a(p)$ :

$$h_a(t) = \frac{1}{j2\pi_c} \oint H_a(p) e^{pt} dp = \text{Res}_{-1/RC} \frac{e^{pt}}{RC \left( p + \frac{1}{RC} \right)} =$$
$$= \frac{1}{RC} \exp\left(-\frac{t}{RC}\right), t \geq 0.$$

- Для цифрового фильтра импульсная характеристика находится с помощью обратного z-преобразования для передаточной функции

$$h[k] = \frac{1}{j2\pi_c} \oint H(z) z^{k-1} dz = \text{Res}_{\exp\left(-\frac{\Delta t}{RC}\right)} \left( \frac{\frac{\Delta t}{RC} z^k}{z - \exp\left(-\frac{\Delta t}{RC}\right)} \right) =$$
$$= \frac{\Delta t}{RC} \exp\left(-\frac{k\Delta t}{RC}\right), k \geq 0.$$

Как видно из приведенных выше формул,  $h[k] = \Delta t h_a(k\Delta t)$ , т.е. импульсная характеристика дискретизируется с шагом  $\Delta t$ .



# Метод инвариантной импульсной характеристики

**Пример. Цифровой фильтр 2-го порядка, эквивалентный колебательному контуру**

*Синтез фильтра*

- Импульсная характеристика колебательного контура определяется как

$$h_a(t) = A \exp(-\alpha t) \cos \omega_0 t, \quad t \geq 0.$$

где  $A$  — размерный множитель. Переходя к дискретному времени  $t = k\Delta t$  и запишем импульсную характеристику соответствующего цифрового фильтра

$$h[k] = \Delta t A \exp(-\alpha k \Delta t) \cos \omega_0 k \Delta t, \quad k \geq 0.$$

$$h[k] = A \frac{\Delta t}{2} \left( e^{-\alpha k \Delta t + j\omega_0 k \Delta t} + e^{-\alpha k \Delta t - j\omega_0 k \Delta t} \right), \quad k \geq 0.$$

- Передаточную функцию фильтра найдем как  $z$ -преобразование от импульсной характеристики:

$$\begin{aligned} H(z) &= \frac{A\Delta t}{2} \left( \frac{1}{1 - e^{-\alpha\Delta t + j\omega_0\Delta t} z^{-1}} + \frac{1}{1 - e^{-\alpha\Delta t - j\omega_0\Delta t} z^{-1}} \right) = \\ &= A\Delta t \frac{1 - e^{-\alpha\Delta t} e^{-j\omega_0\Delta t} z^{-1} + 1 - e^{-\alpha\Delta t} e^{+j\omega_0\Delta t} z^{-1}}{2 \left( 1 - e^{-\alpha\Delta t} e^{+j\omega_0\Delta t} z^{-1} - e^{-\alpha\Delta t} e^{-j\omega_0\Delta t} z^{-1} + e^{-2\alpha\Delta t} z^{-2} \right)} = \end{aligned}$$

$$= A\Delta t \frac{1 - \exp(-\alpha\Delta t) (\cos \omega_0 \Delta t) z^{-1}}{1 - 2 \exp(-\alpha\Delta t) (\cos \omega_0 \Delta t) z^{-1} + \exp(-2\alpha\Delta t) z^{-2}}$$

- Разностное уравнение фильтра

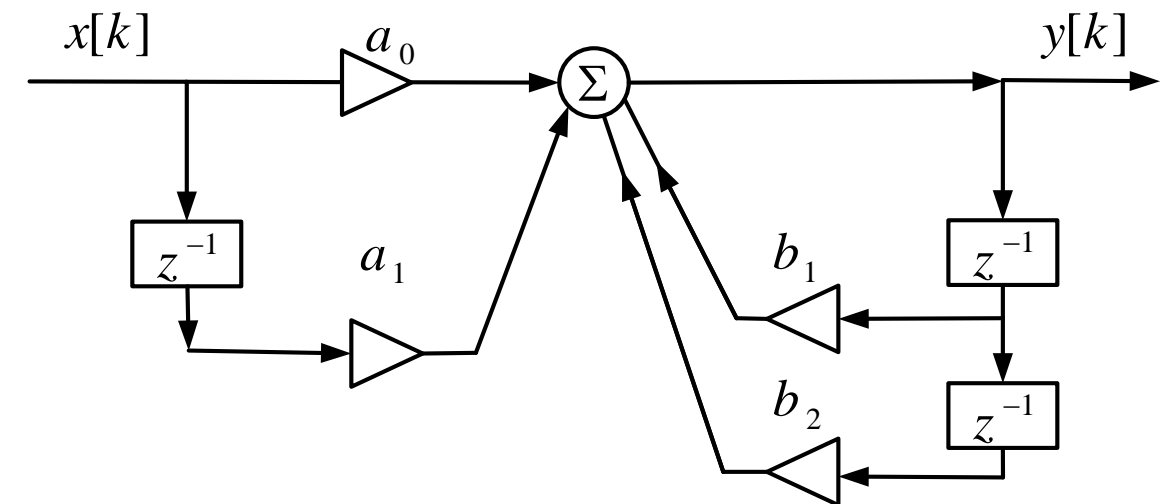
$$y[k] = x[k] + a_1 x[k-1] + b_1 y[k-1] + b_2 y[k-2],$$

$$a_0 = A\Delta t; \quad a_1 = -A\Delta t \exp(-\alpha\Delta t) \cos \omega_0 \Delta t;$$

$$b_1 = 2 \exp(-\alpha\Delta t) \cos \omega_0 \Delta t; \quad b_2 = -\exp(-2\alpha\Delta t).$$

Инициализация  $y[k-1] = y[k-2] = 0$ .

Константа  $A$  определяется из условия  $|H(z = e^{j\omega_0\Delta t})| = 1$ .



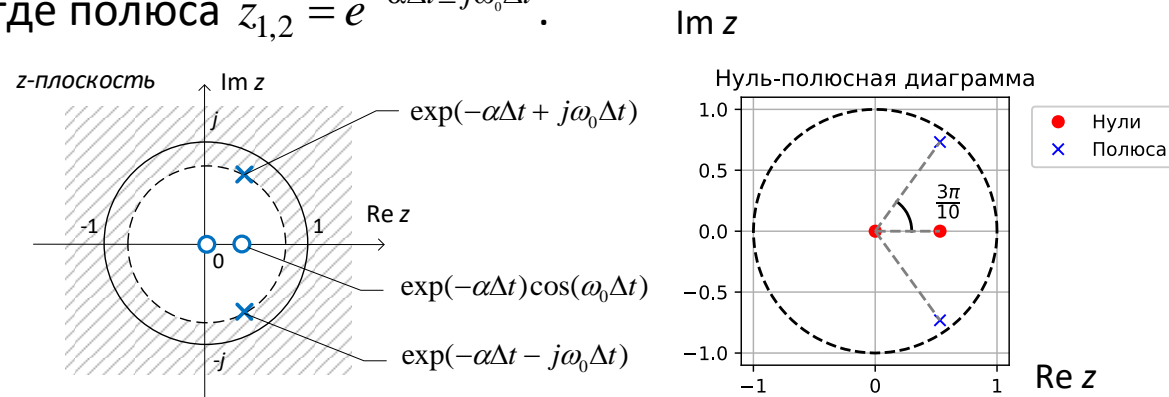
*Анализ фильтра*

$$H(z) = A\Delta t \frac{z(z - \exp(-\alpha\Delta t) (\cos \omega_0 \Delta t))}{z^2 - 2 \exp(-\alpha\Delta t) (\cos \omega_0 \Delta t) z + \exp(-2\alpha\Delta t)}.$$

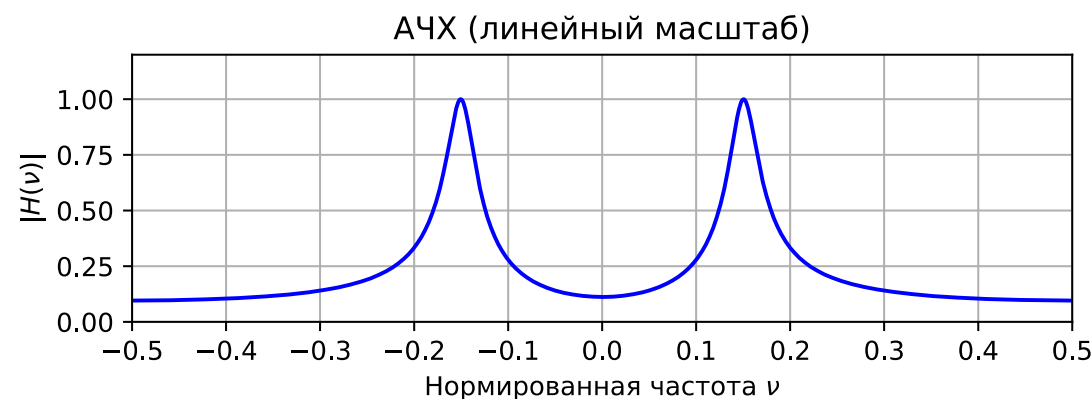
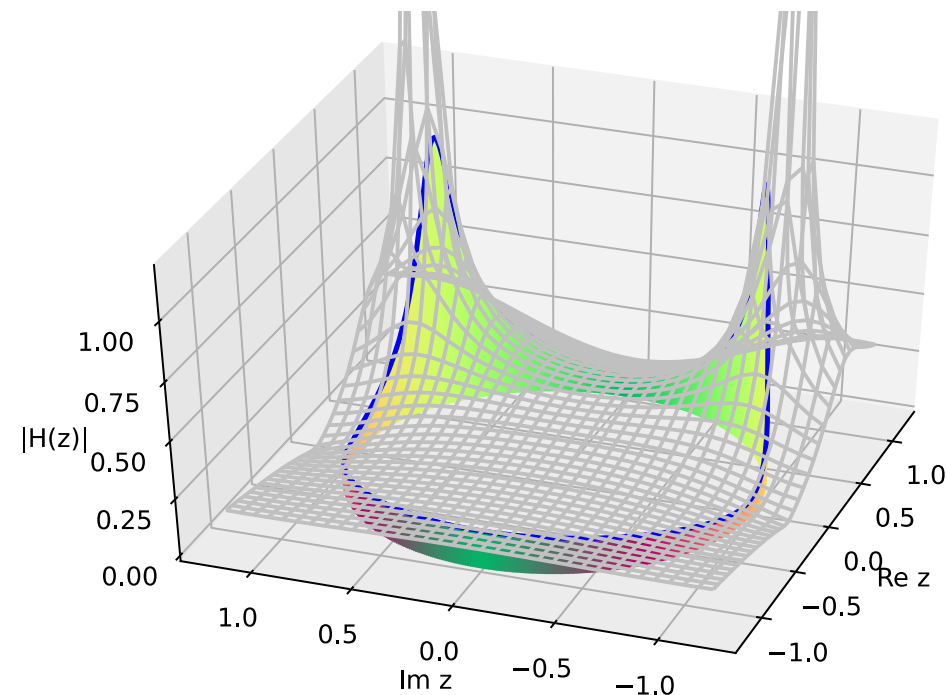
# Метод инвариантной импульсной характеристики

$$H(z) = A\Delta t \frac{z(z - \exp(-\alpha\Delta t)(\cos \omega_0\Delta t))}{z^2 - 2\exp(-\alpha\Delta t)(\cos \omega_0\Delta t)z + \exp(-2\alpha\Delta t)}$$

где полюса  $z_{1,2} = e^{-\alpha\Delta t \pm j\omega_0\Delta t}$ .



- Анализ передаточной функции показывает, что она имеет два нуля при  $z = \exp(-\alpha\Delta t)\cos \omega_0\Delta t$  и  $z = 0$ , а также два полюса: при  $z = \exp(-\alpha\Delta t + j\omega_0\Delta t)$  и при  $z = \exp(-\alpha\Delta t - j\omega_0\Delta t)$ .
- С ростом добротности колебательного контура, соответствующего данному цифровому фильтру, величина коэффициента затухания  $\alpha$  уменьшается,  $\exp(-\alpha\Delta t)$  стремится к единице и полюса приближаются к единичной окружности.



# Метод билинейного z-преобразования

## Метод билинейного z-преобразования для синтеза

### БИХ-фильтров $\sqrt{2}3$

В методе инвариантной импульсной характеристики при переходе из  $p$ -плоскости в  $z$ -плоскость использовалась связь  $z = \exp(p\Delta t)$ , откуда

$$p = \frac{1}{\Delta t} \ln z = \frac{2}{\Delta t} \left( \frac{z-1}{z+1} + \left( \frac{z-1}{z+1} \right)^3 + \dots \right).$$

Ограничимся только первым слагаемым ряда, тогда

$$p = \frac{2}{\Delta t} \cdot \frac{z-1}{z+1} = \frac{2}{\Delta t} \cdot \frac{1-z^{-1}}{1+z^{-1}}, \quad z = \frac{2/\Delta t + p}{2/\Delta t - p}.$$

Метод билинейного z-преобразования заключается в подстановке полученной зависимости в передаточную функцию аналогового фильтра  $H_a(p)$ , в результате чего получается передаточная функция цифрового фильтра  $H(z)$ .

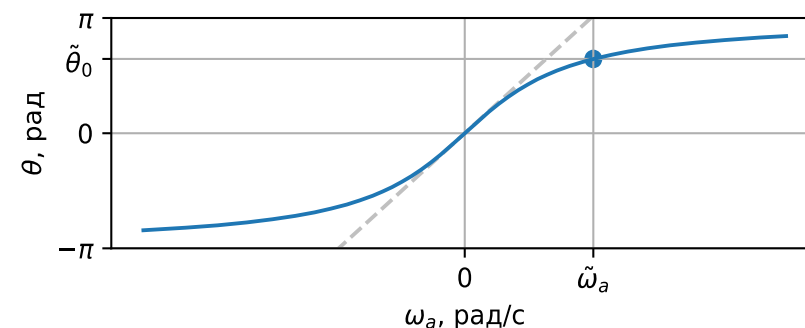
- Зависимость между частотами цифрового и аналогового фильтров *нелинейная*. Частоте  $f_a$  в частотной характеристике соответствует точка  $p$ -плоскости  $p_a = j\omega_a = j2\pi f_a$ . При переходе на единичную окружность в  $z$ -плоскости

$$z = \frac{2/\Delta t + j2\pi f_a}{2/\Delta t - j2\pi f_a} = \frac{2/\Delta t + j\omega_a}{2/\Delta t - j\omega_a} = \exp(j2\pi f_0 \Delta t) = \exp(j\theta_0).$$

Используя  $\left( \frac{2/\Delta t + j\omega_a}{2/\Delta t - j\omega_a} \right)^2 = \exp(j2\theta_0)$ , получаем

$$\operatorname{tg}(\theta_0 / 2) = \frac{\omega_a \Delta t}{2},$$

$$\theta_0 = 2 \operatorname{arctg} \left( \frac{\omega_a \Delta t}{2} \right) + 2\pi n, \quad n \in \mathbb{Z}.$$



- Нелинейную зависимость частот необходимо учитывать, например, при пересчете граничных частот полосы пропускания и полосы задерживания. Однако при этом не возникает эффект наложения за счет линейной деформации частотной оси.



# Метод билинейного z-преобразования

## Метод инвариантной импульсной характеристики

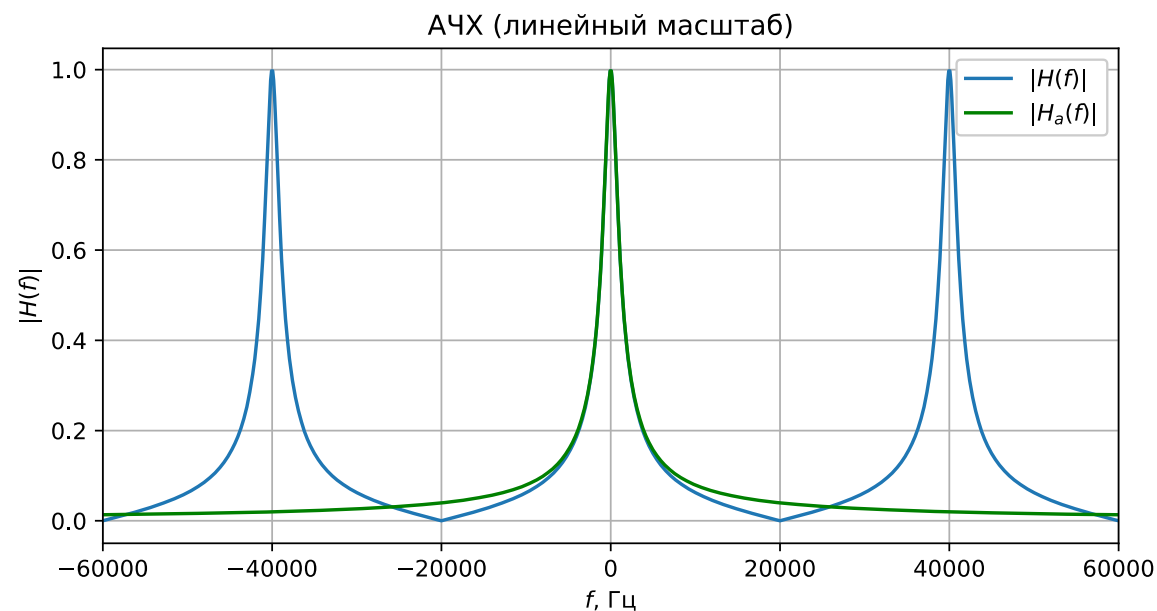
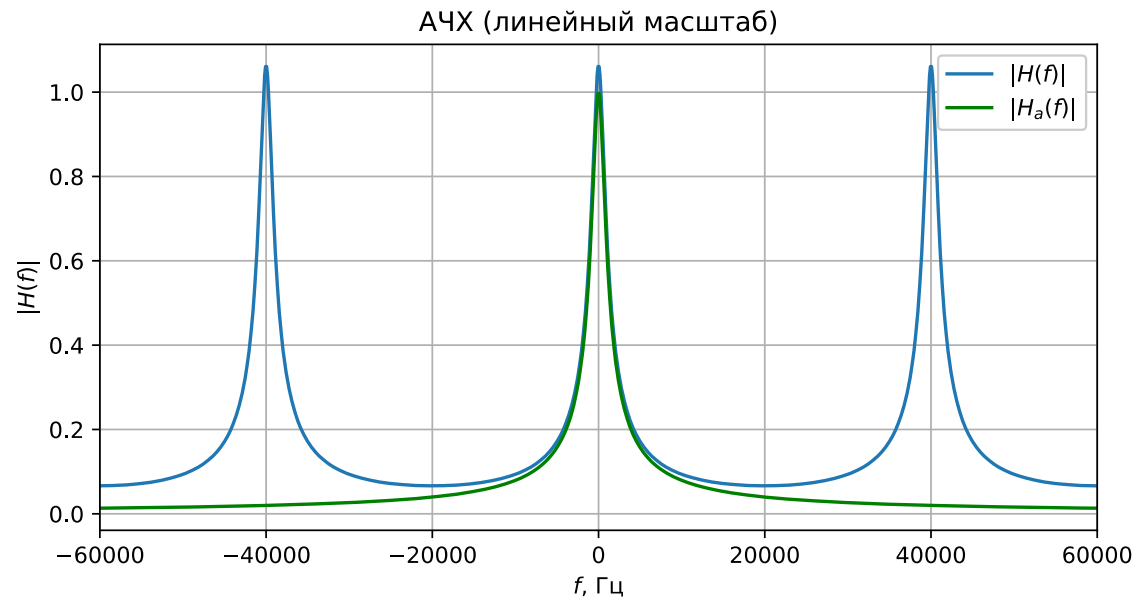
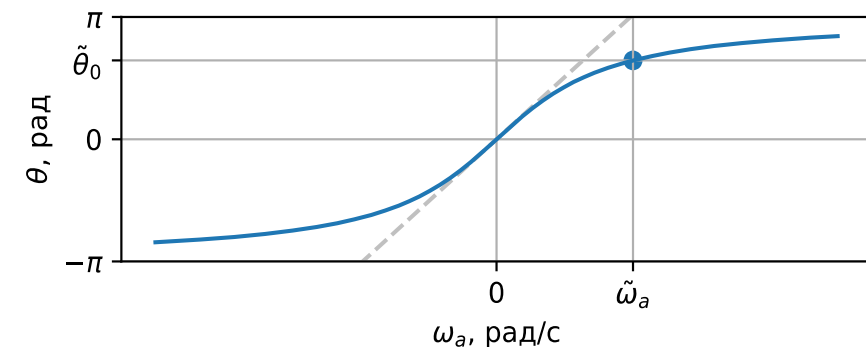
На частотах  $f \in [-f_d / 2; f_d / 2]$  наблюдаем совпадение (с точности до эффекта наложения) АЧХ аналогового и цифрового фильтров.

При периодическом повторении спектра возникает эффект наложения

$$H(f) = \sum_{m=-\infty}^{\infty} H_a(f + mf_d).$$

## Метод билинейного z-преобразования

Происходит нелинейная деформация частотной оси. Вблизи частоты Найквиста искажения проявляются сильнее, чем в рабочем диапазоне частот.





# Метод билинейного z-преобразования

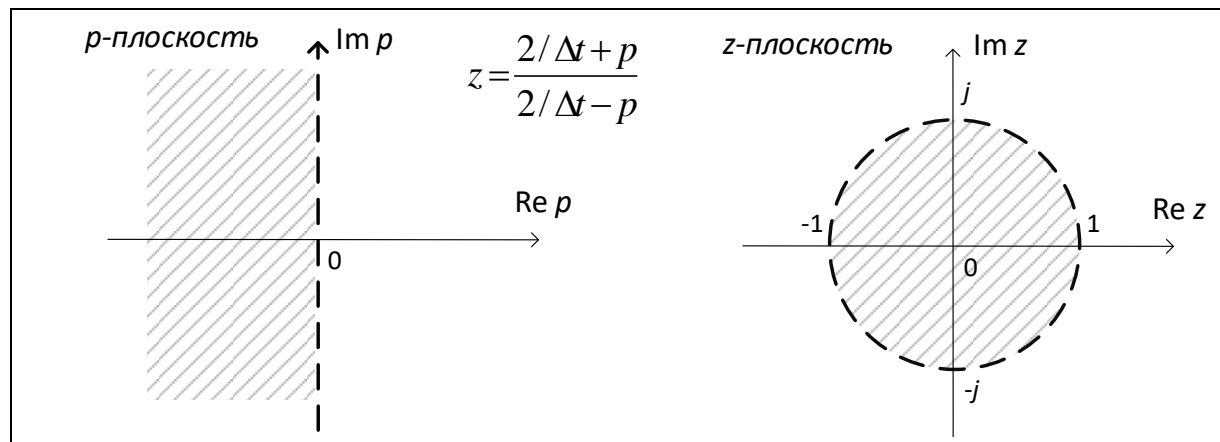
В методе билинейного z-преобразования гарантируется (как и в методе инвариантной импульсной характеристики) устойчивость БИХ-фильтра при устойчивом аналоговом фильтре-прототипе.

Левая полуплоскость при билинейном z-преобразовании отображается во внутрь единичного круга. Убедимся в этом. Возьмем в p-плоскости точку  $p_a = \sigma_a + j\omega_a$ . Ей будет соответствовать точка z-плоскости

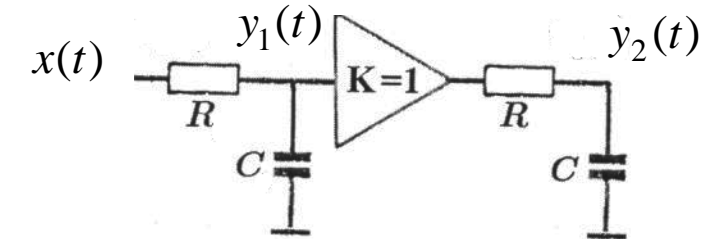
$$z_0 = \frac{2/\Delta t + \sigma_a + j\omega_a}{2/\Delta t - \sigma_a - j\omega_a}$$

причем при  $\sigma_a < 0$

$$|z_0| = \sqrt{\frac{(2/\Delta t + \sigma_a)^2 + \omega_a^2}{(2/\Delta t - \sigma_a)^2 + \omega_a^2}} < 1.$$



**Пример. Цифровой аналог каскада из двух RC-цепочек интегрирующего типа.**



На этом рисунке между двумя RC-цепочками имеется развязывающий повторитель, у которого большое входное и малое выходное сопротивление. Это необходимо для устранения влияния цепочек друг на друга. Уравнение для одного RC-каскада:

$$RC \frac{dy}{dt} + y_1(t) = x(t)$$

Пусть  $y_1(0) = 0$ . Тогда преобразование Лапласа для него

$$RCpY_1(p) + Y_1(p) = X(p)$$

Передаточная функция

$$H_1(p) = \frac{Y_1(p)}{X(p)} = \frac{1}{1 + RCp}.$$

# Метод билинейного z-преобразования

Для двух последовательно соединенных RC-фильтров первого порядка

$$H_2(p) = H_1(p)H_1(p) = \frac{1}{(RC)^2 p^2 + 2RCp + 1}.$$

Передаточную функцию  $H(z)$  для соответствующего цифрового фильтра можно получить методом билинейного z-преобразования.

Получаем передаточную функцию цифрового фильтра  $H(z)$ .

$$H(z) = \frac{1}{(RC)^2 \left( \frac{2}{\Delta t} \frac{1-z^{-1}}{1+z^{-1}} \right)^2 + 2RC \left( \frac{2}{\Delta t} \frac{1-z^{-1}}{1+z^{-1}} \right) + 1}$$

Преобразуем:

$$H(z) = \frac{1 + 2z^{-1} + z^{-2}}{4(RC / \Delta t)^2 (1 - 2z^{-1} + z^{-2}) + 4(RC / \Delta t)(1 - z^{-2}) + (1 + 2z^{-1} + z^{-2})}$$

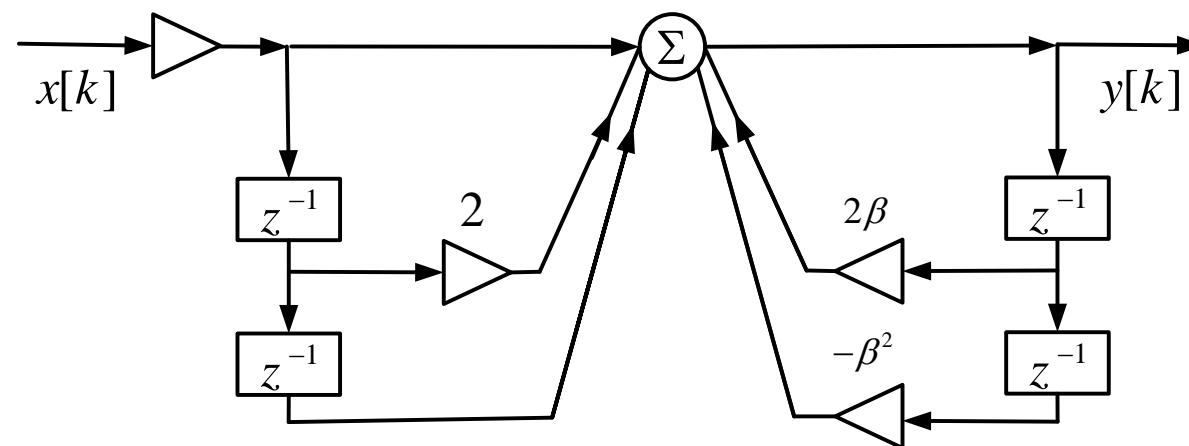
Обозначим  $\alpha = RC / \Delta t = RCf_d$

$$H(z) = \frac{1 + 2z^{-1} + z^{-2}}{(4\alpha^2 + 4\alpha + 1) + (2 - 8\alpha^2)z^{-1} + (4\alpha^2 - 4\alpha + 1)z^{-2}}$$

Разностное уравнение:

$$\begin{aligned} x[k] + 2x[k-1] + x[k-2] &= \\ &= (4\alpha^2 + 4\alpha + 1)y[k] + (2 - 8\alpha^2)y[k-1] + (4\alpha^2 - 4\alpha + 1)y[k-2] \\ y[k] &= \frac{1}{(2\alpha + 1)^2} x[k] + \frac{2}{(2\alpha + 1)^2} x[k-1] + \frac{1}{(2\alpha + 1)^2} x[k-2] + \\ &\quad + \frac{2(2\alpha - 1)}{(2\alpha + 1)} y[k-1] - \frac{(2\alpha - 1)^2}{(2\alpha + 1)^2} y[k-2] \\ y[k] &= \frac{x[k] + 2x[k-1] + x[k-2]}{(2\alpha + 1)^2} + 2\beta y[k-1] - \beta^2 y[k-2] \end{aligned}$$

где  $\beta = \frac{2\alpha - 1}{2\alpha + 1}$ ,  $y[k-1] = y[k-2] = 0$ .



# Метод билинейного z-преобразования

## Пример. Синтез на основе аналоговых фильтров-прототипов.

Расчет реализуется с помощью компьютерного моделирования.

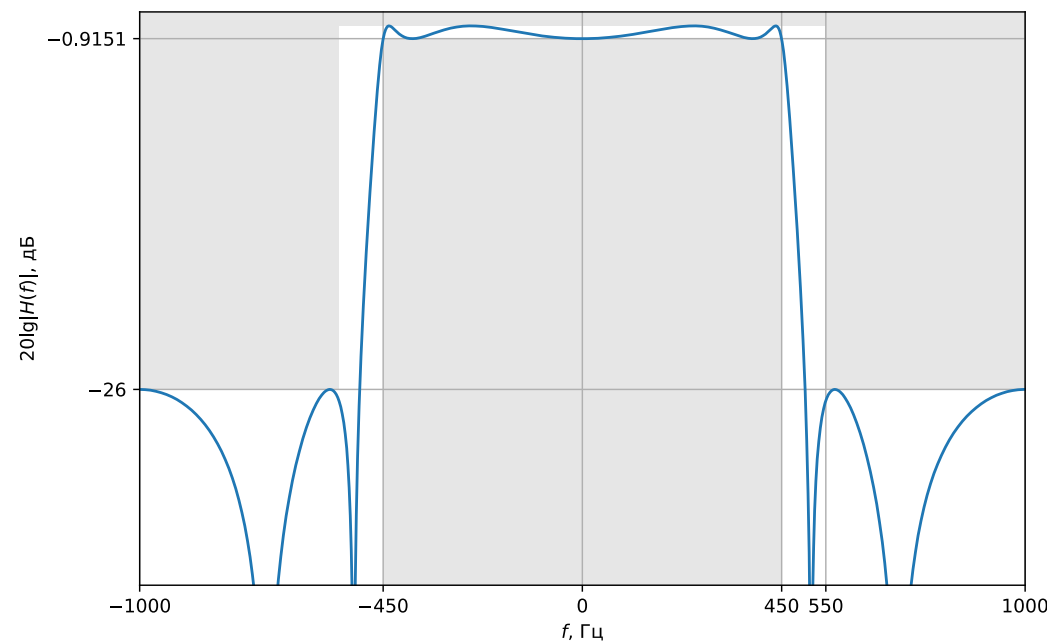
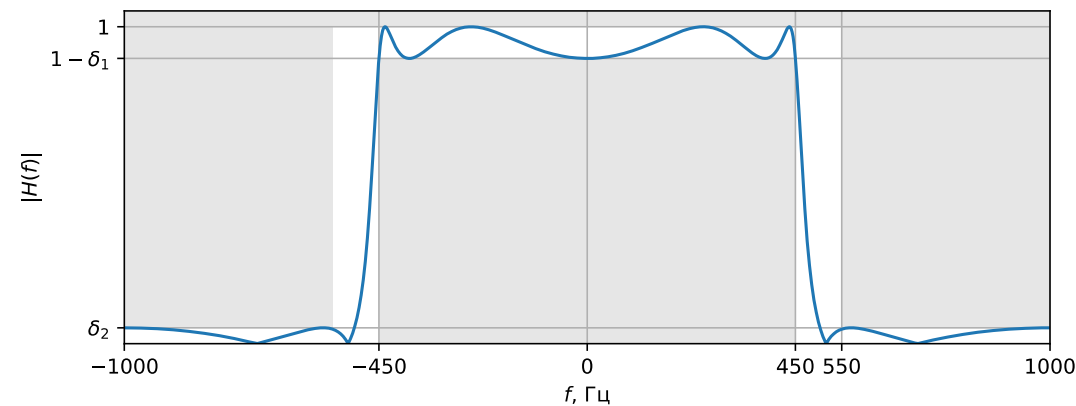
Получим методом билинейного z-преобразования БИХ-фильтры нижних частот со следующими характеристиками:

- 1) частота дискретизации  $f_d = 2000$  Гц
- 2) граничная частота полосы пропускания  $f_1 = 450$  Гц,
- 3) граничная частота полосы задерживания  $f_2 = 550$  Гц,
- 4) максимальное допустимое затухание в полосе пропускания  $a_{\max} = 0.9151$  дБ ( $\delta_1 = 0.1$ ),
- 5) минимальное допустимое затухание в полосе задерживания  $a_{\min} = 26$  дБ ( $\delta_2 = 0.05$ ).

$$20\log_{10} |H(f)| = 10\log_{10} |H(f)|^2$$

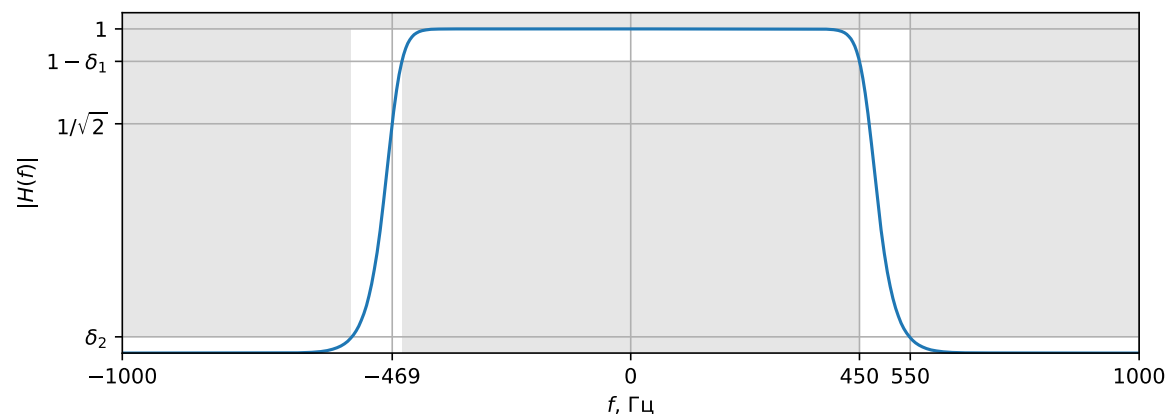
$$-a_{\max} = 20\log_{10}(1 - \delta_1) = 20\log_{10}(1 - 0.1) = -0.9151(\text{дБ})$$

$$-a_{\min} = 20\log_{10}(\delta_2) = 20\log_{10}(0.05) = -26(\text{дБ})$$



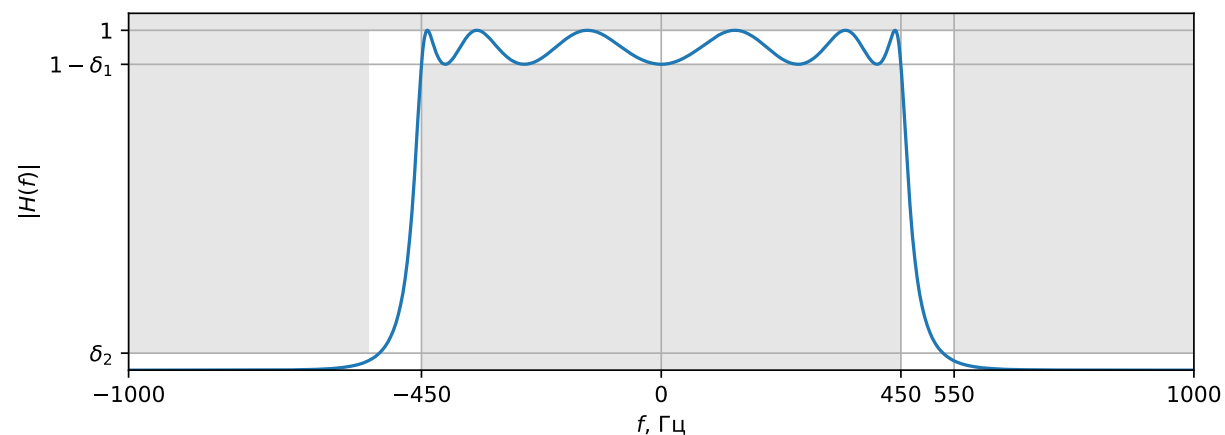
# Метод билинейного z-преобразования

## 1) Фильтр Баттерворта (12 порядка)



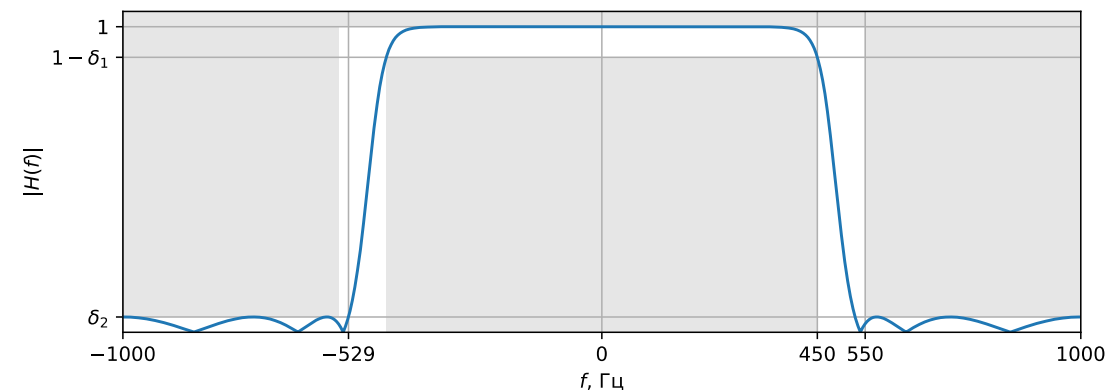
Параметры: порядок  $N$ , частота среза  $f_c$ .

## 2) Фильтр Чебышёва 1 рода (6 порядка)



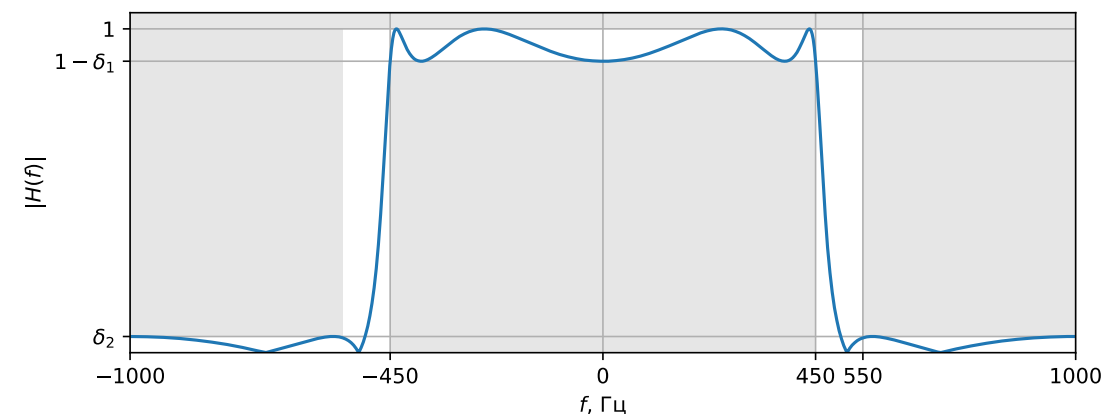
Параметры: порядок  $N$ , частота среза  $f_c$ , величина пульсаций в полосе пропускания.

## 3) Фильтр Чебышёва 2 рода (6 порядка)



Параметры: порядок  $N$ , частота среза  $f_c$ , величина пульсаций в полосе задерживания.

## 4) Фильтр Золотарёва—Кауэра (4 порядка)



Параметры: порядок  $N$ , частота среза  $f_c$ , величины пульсаций в полосах задерживания и пропускания.

## Задачи для самостоятельного решения с лекции 11 ноября 2024 г. (часть 2).

**№1.** Методом инвариантной импульсной характеристики получить цифровой аналог каскада из двух RC–цепочек интегрирующего типа. Записать разностное уравнение, передаточную функцию и построить блок схему одной из реализаций получившегося фильтра.

**№2.** Методом билинейного  $z$ –преобразования получить цифровой аналог RC–цепочки интегрирующего типа. Записать разностное уравнение, передаточную функцию, изобразить нуль-полюсную диаграмму и построить блок схему одной из реализаций получившегося фильтра.

**№3.** Получить выражения для частотной характеристики, АЧХ и ФЧХ фильтра, заданного разностным уравнением

$$y[k] = (1 - A)x[k] + Ay[k - 1], \quad y[-1] = 0.$$

где  $0 < A < 1$  (квазиинтегратор).

## Список литературы.

- [1] [Prandoni P., Vetterli M. Signal processing for communications. – Lausanne : EFPL Press, 2008.](#)
- [2] Солонина А. И. Цифровая обработка сигналов в зеркале MATLAB. – СПб.:БХВ-Петербург, 2021.
- [3] Shenoi B. A. Introduction to digital signal: Processing and filter design. – John Wiley & Sons, 2006.
- [4] Оппенгейм А., Шафер Р. Цифровая обработка сигналов. М.: Техносфера, 2019.
- [5] Романюк Ю. А. Основы цифровой обработки сигналов : учебное пособие : в 3-х ч. Ч. 1: Свойства и преобразования дискретных сигналов. - Изд. 2-е, перераб. –М.: МФТИ, 2007.

*Про преобразование Лапласа рекомендуется прочитать по учебнику [5] раздел 1.10 «Преобразование Лапласа в линейных системах» стр. 74-87 либо приложение к лекции «Преобразование Лапласа в линейных системах».*  
*Учебные пособия [2], [4], [5] есть в библиотеке МФТИ.*